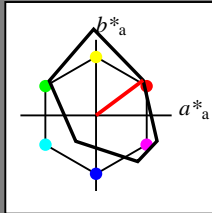


### Eingabe: Farbmetrisches Drucker-Reflektiv-System FRS06

für Buntton  $h^* = lab^*h = 37/360 = 0.102$   
 $lab^*ich$  und  $lab^*nch$

D65: Buntton R  
LCH\*Ma: 33 78 37  
olv\*Ma: 1.0 0.0 0.0

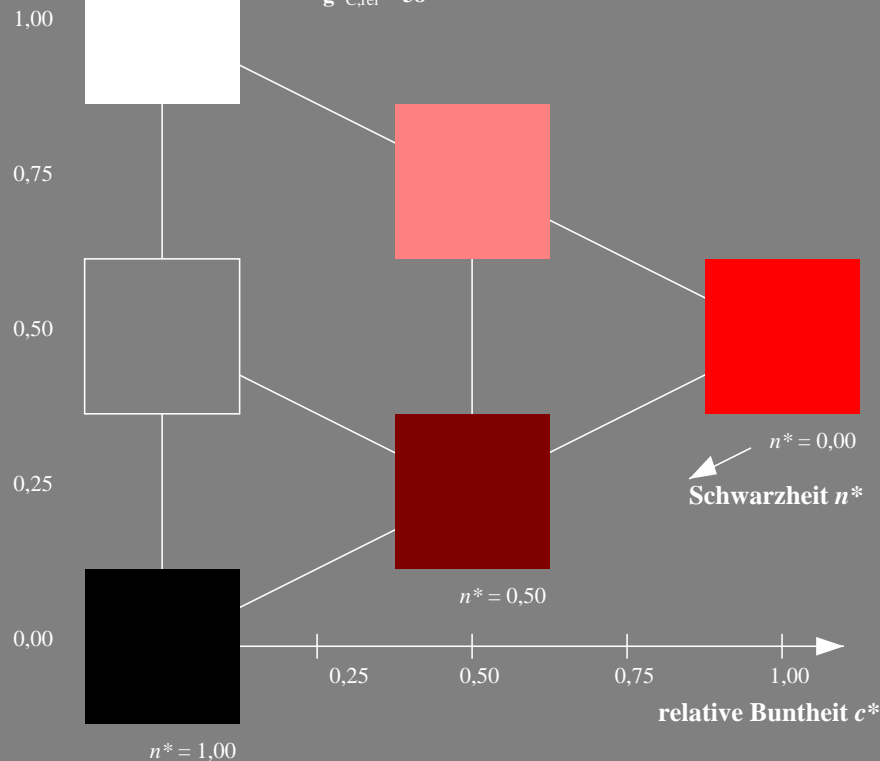
Dreiecks-Helligkeit  $t^*$



%Umfang  
 $u^*_{rel} = 115$   
%Regularität  
 $g^*_{H,rel} = 28$   
 $g^*_{C,rel} = 38$

#### FRS06; adaptierte CIELAB-Daten

	$L^*=L^*_a$	$a^*_a$	$b^*_a$	$C^*_{ab,a}$	$h^*_{ab,a}$
RMa	32.57	62.32	46.49	77.75	37
JMa	82.73	-3.16	113.99	114.03	92
GMa	39.43	-61.79	45.84	76.95	143
G50BMa	47.86	-26.79	-34.24	43.49	232
BMa	10.16	55.12	-61.03	82.24	312
B50RMa	34.5	80.68	-33.92	87.52	337
NMa	6.25	0.0	0.0	0.0	0
WMa	91.97	0.0	0.0	0.0	0
RCIE	39.92	59.8	31.05	67.38	27
JCIE	81.26	-2.52	76.25	76.29	92
GCIE	52.23	-41.56	17.14	44.96	158
BCIE	30.57	2.63	-43.77	43.86	273

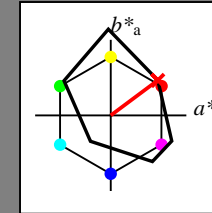


### Ausgabe: Farbmetrisches Drucker-Reflektiv-System FRS06

für Buntton  $h^* = lab^*h = 37/360 = 0.102$   
 $lab^*ich$  und  $lab^*nch$

D65: Buntton R  
LCH\*Ma: 33 78 37  
olv\*Ma: 1.0 0.0 0.0

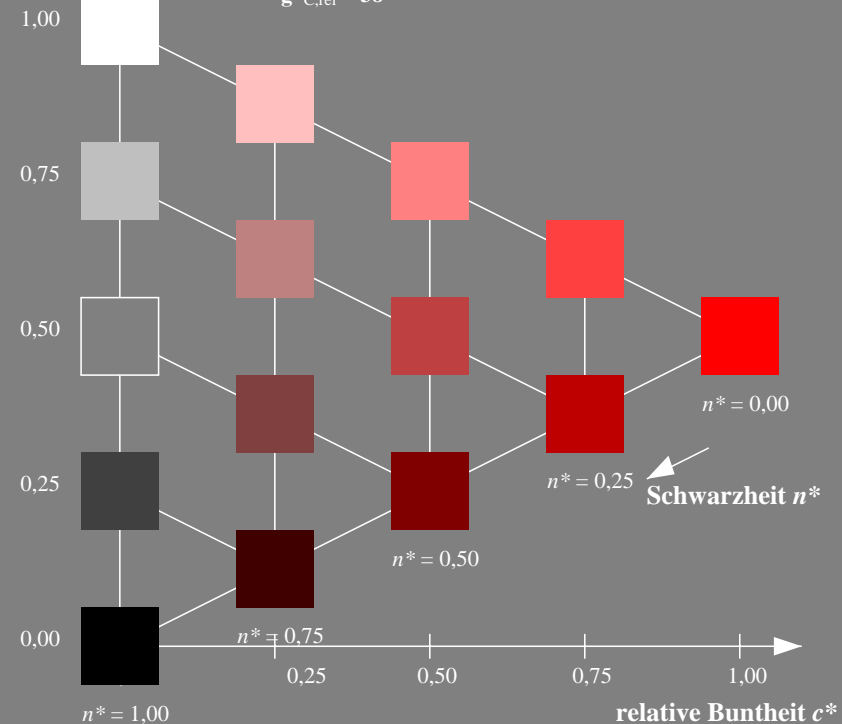
Dreiecks-Helligkeit  $t^*$



%Umfang  
 $u^*_{rel} = 115$   
%Regularität  
 $g^*_{H,rel} = 28$   
 $g^*_{C,rel} = 38$

#### FRS06; adaptierte CIELAB-Daten

	$L^*=L^*_a$	$a^*_a$	$b^*_a$	$C^*_{ab,a}$	$h^*_{ab,a}$
OMa	32.57	62.32	46.49	77.75	37
YMa	82.73	-3.16	113.99	114.03	92
LMa	39.43	-61.79	45.84	76.95	143
CMa	47.86	-26.79	-34.24	43.49	232
VMa	10.16	55.12	-61.03	82.24	312
MMa	34.5	80.68	-33.92	87.52	337
NMa	6.25	0.0	0.0	0.0	0
WMa	91.97	0.0	0.0	0.0	0
RCIE	39.92	59.8	31.05	67.38	27
JCIE	81.26	-2.52	76.25	76.29	92
GCIE	52.23	-41.56	17.14	44.96	158
BCIE	30.57	2.63	-43.77	43.86	273



VG360-7, 3stufige Reihen für konstanten CIELAB Buntton 37/360 = 0.102 (links)

5stufige Reihen für konstanten CIELAB Buntton 37/360 = 0.102 (rechts)

BAM-Prüfvorlage VG36; Farbmetrik-Systeme CNS18 & FRS06 input: olv\* setrgbcolor

D65: 3 und 5stufige Farbreihen für 10 Bunttöne

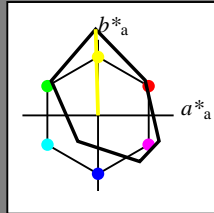
output: no change compared to input

### Eingabe: Farbmetrisches Drucker-Reflektiv-System FRS06

für Buntton  $h^* = lab^*h = 92/360 = 0.254$   
 $lab^*ich$  und  $lab^*nch$

D65: Buntton J  
LCH\*Ma: 83 114 92  
olv\*Ma: 1.0 1.0 0.0

Dreiecks-Helligkeit  $t^*$



%Umfang  
 $u^*_{rel} = 115$   
%Regularität  
 $g^*_{H,rel} = 28$   
 $g^*_{C,rel} = 38$

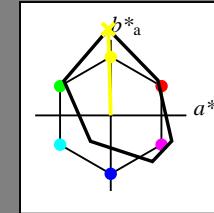
FRS06; adaptierte CIELAB-Daten					
	$L^*=L^*_a$	$a^*_a$	$b^*_a$	$C^*_{ab,a}$	$h^*_{ab,a}$
RMa	32.57	62.32	46.49	77.75	37
JMa	82.73	-3.16	113.99	114.03	92
GMa	39.43	-61.79	45.84	76.95	143
G50BMa	47.86	-26.79	-34.24	43.49	232
BMa	10.16	55.12	-61.03	82.24	312
B50RMa	34.5	80.68	-33.92	87.52	337
NMa	6.25	0.0	0.0	0.0	0
WMa	91.97	0.0	0.0	0.0	0
RCIE	39.92	59.8	31.05	67.38	27
JCIE	81.26	-2.52	76.25	76.29	92
GCIE	52.23	-41.56	17.14	44.96	158
BCIE	30.57	2.63	-43.77	43.86	273

### Ausgabe: Farbmetrisches Drucker-Reflektiv-System FRS06

für Buntton  $h^* = lab^*h = 92/360 = 0.254$   
 $lab^*ich$  und  $lab^*nch$

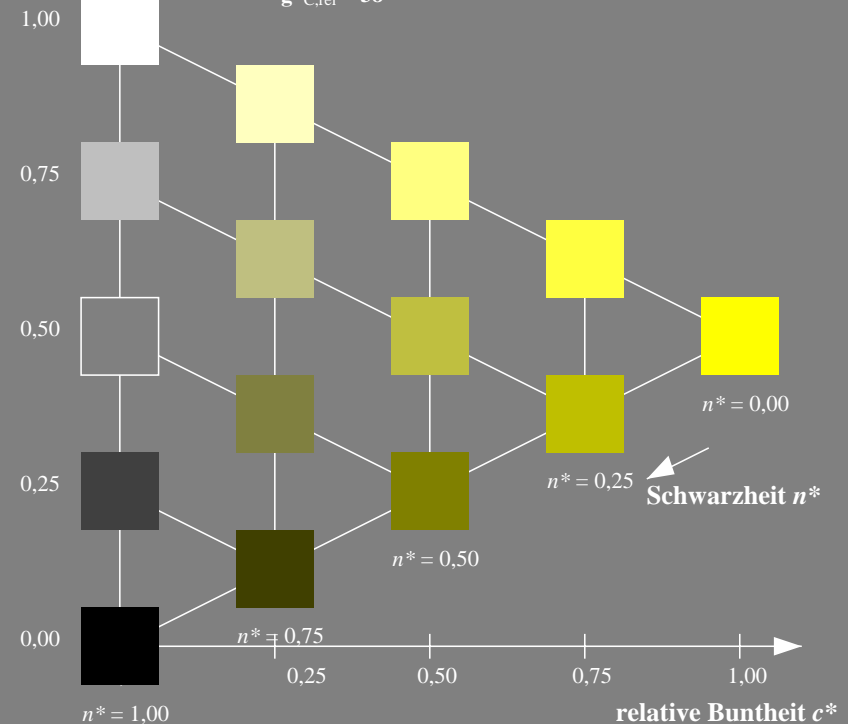
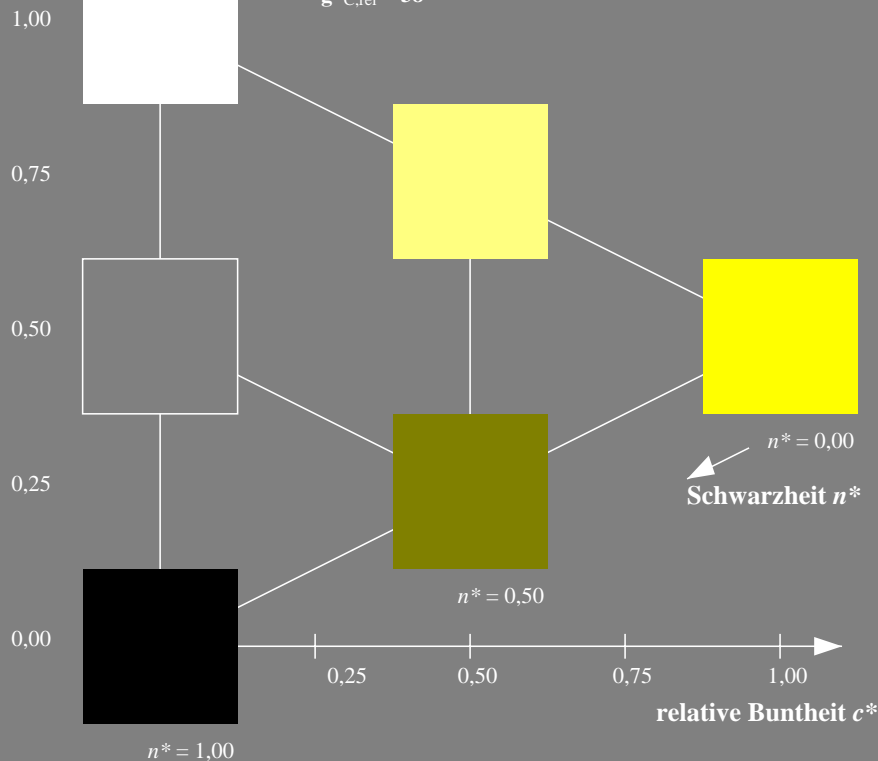
D65: Buntton J  
LCH\*Ma: 83 114 92  
olv\*Ma: 1.0 1.0 0.0

Dreiecks-Helligkeit  $t^*$



%Umfang  
 $u^*_{rel} = 115$   
%Regularität  
 $g^*_{H,rel} = 28$   
 $g^*_{C,rel} = 38$

FRS06; adaptierte CIELAB-Daten					
	$L^*=L^*_a$	$a^*_a$	$b^*_a$	$C^*_{ab,a}$	$h^*_{ab,a}$
OMa	32.57	62.32	46.49	77.75	37
YMa	82.73	-3.16	113.99	114.03	92
LMa	39.43	-61.79	45.84	76.95	143
CMa	47.86	-26.79	-34.24	43.49	232
VMa	10.16	55.12	-61.03	82.24	312
MMa	34.5	80.68	-33.92	87.52	337
NMa	6.25	0.0	0.0	0.0	0
WMa	91.97	0.0	0.0	0.0	0
RCIE	39.92	59.8	31.05	67.38	27
JCIE	81.26	-2.52	76.25	76.29	92
GCIE	52.23	-41.56	17.14	44.96	158
BCIE	30.57	2.63	-43.77	43.86	273



VG360-7, 3stufige Reihen für konstanten CIELAB Buntton 92/360 = 0.254 (links)

5stufige Reihen für konstanten CIELAB Buntton 92/360 = 0.254 (rechts)

BAM-Prüfvorlage VG36; Farbmetrik-Systeme CNS18 & FRS06 input: olv\* setrgbcolor  
D65: 3 und 5stufige Farbreihen für 10 Bunttöne

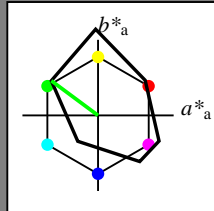
output: no change compared to input

### Eingabe: Farbmetrisches Drucker-Reflektiv-System FRS06

für Buntton  $h^* = lab^*h = 143/360 = 0.398$   
 $lab^*ich$  und  $lab^*nch$

D65: Buntton G  
LCH\*Ma: 39 77 143  
olv\*Ma: 0.0 1.0 0.0

Dreiecks-Helligkeit  $t^*$



%Umfang  
 $u^*_{rel} = 115$   
%Regularität  
 $g^*_{H,rel} = 28$   
 $g^*_{C,rel} = 38$

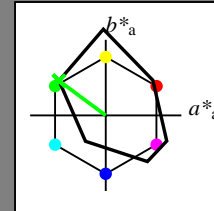
FRS06; adaptierte CIELAB-Daten					
	$L^*=L^*_a$	$a^*_a$	$b^*_a$	$C^*_{ab,a}$	$h^*_{ab,a}$
RMa	32.57	62.32	46.49	77.75	37
JMa	82.73	-3.16	113.99	114.03	92
GMa	39.43	-61.79	45.84	76.95	143
G50BMa	47.86	-26.79	-34.24	43.49	232
BMa	10.16	55.12	-61.03	82.24	312
B50RMa	34.5	80.68	-33.92	87.52	337
NMa	6.25	0.0	0.0	0.0	0
WMa	91.97	0.0	0.0	0.0	0
RCIE	39.92	59.8	31.05	67.38	27
JCIE	81.26	-2.52	76.25	76.29	92
GCIE	52.23	-41.56	17.14	44.96	158
BCIE	30.57	2.63	-43.77	43.86	273

### Ausgabe: Farbmetrisches Drucker-Reflektiv-System FRS06

für Buntton  $h^* = lab^*h = 143/360 = 0.398$   
 $lab^*ich$  und  $lab^*nch$

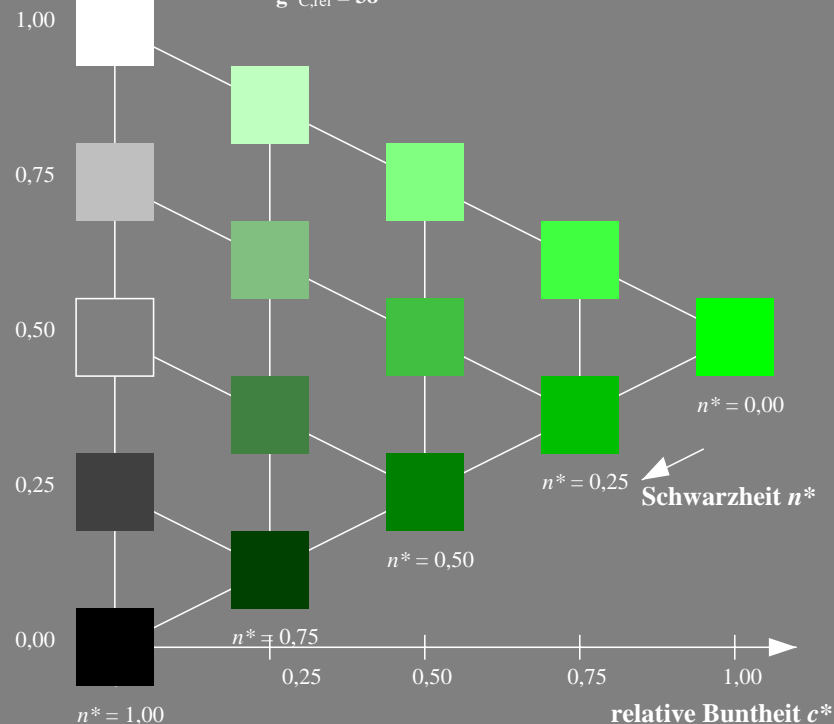
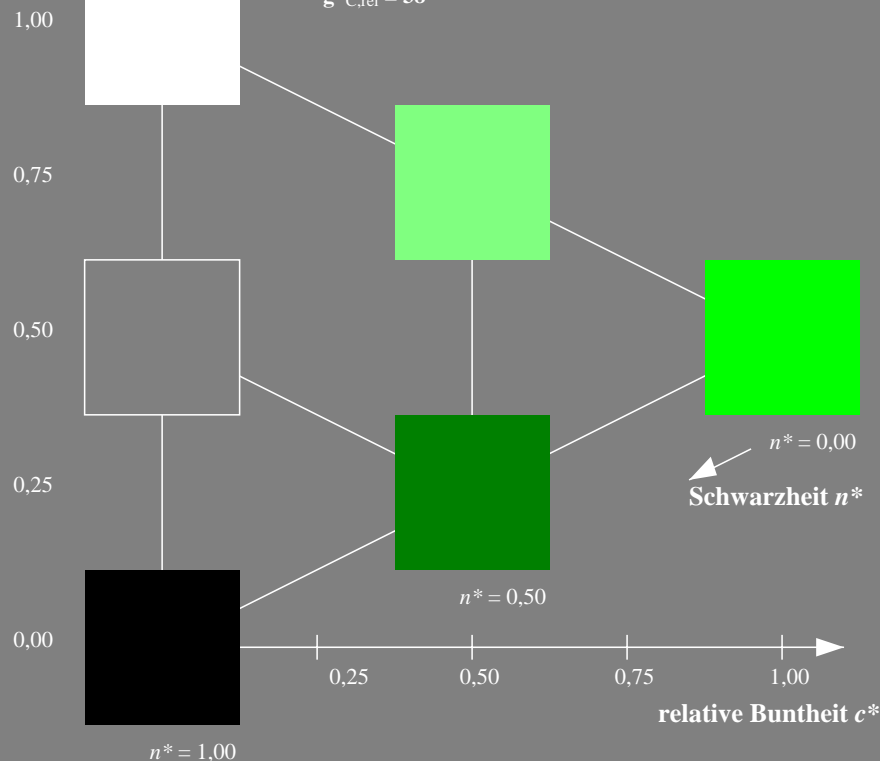
D65: Buntton G  
LCH\*Ma: 39 77 143  
olv\*Ma: 0.0 1.0 0.0

Dreiecks-Helligkeit  $t^*$



%Umfang  
 $u^*_{rel} = 115$   
%Regularität  
 $g^*_{H,rel} = 28$   
 $g^*_{C,rel} = 38$

FRS06; adaptierte CIELAB-Daten					
	$L^*=L^*_a$	$a^*_a$	$b^*_a$	$C^*_{ab,a}$	$h^*_{ab,a}$
OMa	32.57	62.32	46.49	77.75	37
YMa	82.73	-3.16	113.99	114.03	92
LMa	39.43	-61.79	45.84	76.95	143
CMa	47.86	-26.79	-34.24	43.49	232
VMa	10.16	55.12	-61.03	82.24	312
MMa	34.5	80.68	-33.92	87.52	337
NMa	6.25	0.0	0.0	0.0	0
WMa	91.97	0.0	0.0	0.0	0
RCIE	39.92	59.8	31.05	67.38	27
JCIE	81.26	-2.52	76.25	76.29	92
GCIE	52.23	-41.56	17.14	44.96	158
BCIE	30.57	2.63	-43.77	43.86	273



VG360-7, 3stufige Reihen für konstanten CIELAB Buntton 143/360 = 0.398 (links)

5stufige Reihen für konstanten CIELAB Buntton 143/360 = 0.398 (rechts)

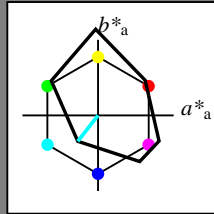
BAM-Prüfvorlage VG36; Farbmetrik-Systeme CNS18 & FRS06 input: olv\* setrgbcolor  
D65: 3 und 5stufige Farbreihen für 10 Bunttöne

output: no change compared to input

**Eingabe: Farbmétrisches Drucker-Reflektiv-System FRS06**

für Buntton  $h^* = lab^*h = 232/360 = 0.644$   
 $lab^*ch$  und  $lab^*nch$

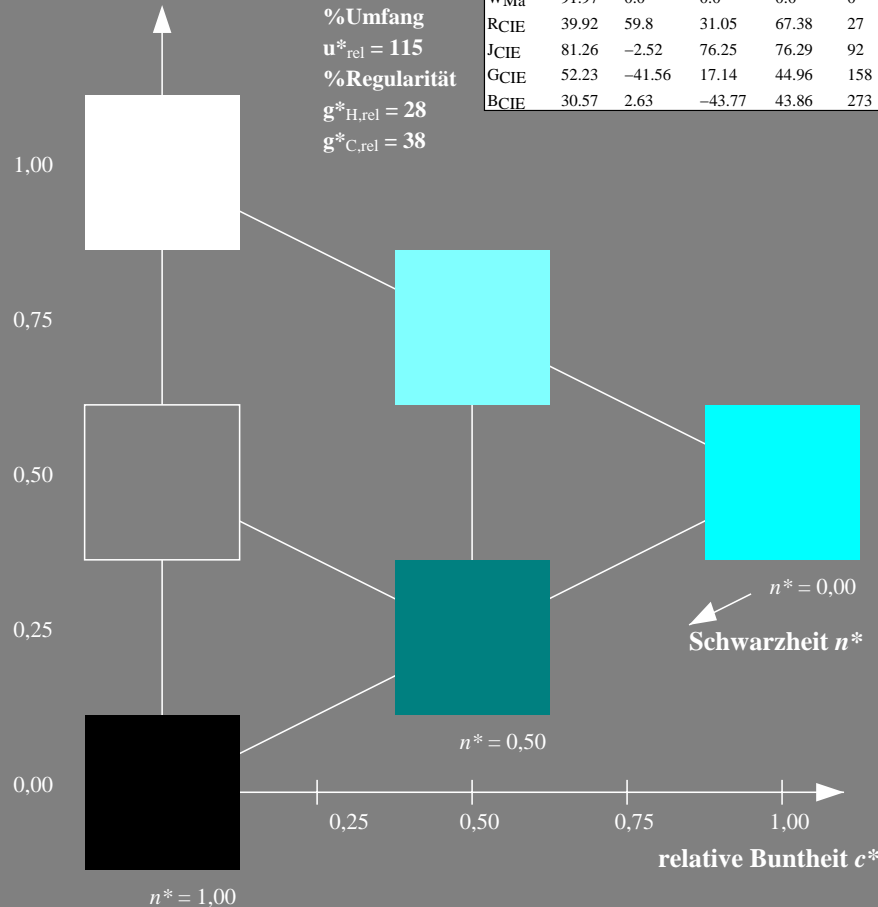
D65: Buntton G50B  
LCH\*Ma: 48 43 232  
olv\*Ma: 0.0 1.0 1.0



**%Umfang**  
 **$u^*_{\text{rel}} = 115$**   
**%Regularität**  
 **$g^*_{\text{H,rel}} = 28$**   
 **$g^*_{\text{C,rel}} = 38$**

FRS06; adaptierte CIELAB-Daten					
	$L^* = L^*_a$	$a^*_a$	$b^*_a$	$C^*_{ab,a}$	$h^*_{ab,a}$
RMa	32.57	62.32	46.49	77.75	37
JMa	82.73	-3.16	113.99	114.03	92
GMa	39.43	-61.79	45.84	76.95	143
G50B <sub>Ma</sub>	47.86	-26.79	-34.24	43.49	232
B <sub>Ma</sub>	10.16	55.12	-61.03	82.24	312
B50R <sub>Ma</sub>	34.5	80.68	-33.92	87.52	337
N <sub>Ma</sub>	6.25	0.0	0.0	0.0	0
W <sub>Ma</sub>	91.97	0.0	0.0	0.0	0
RCIE	39.92	59.8	31.05	67.38	27
JCIE	81.26	-2.52	76.25	76.29	92
GCIE	52.23	-41.56	17.14	44.96	158
BCIE	30.57	2.63	-43.77	43.86	273

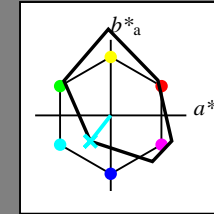
### Dreiecks-Helligkeit $t^*$



**Ausgabe: Farbmetrisches Drucker-Reflektiv-System FRS06**

für Buntton  $h^* = lab^*h = 232/360 = 0.644$   
 $lab^*tch$  und  $lab^*nch$

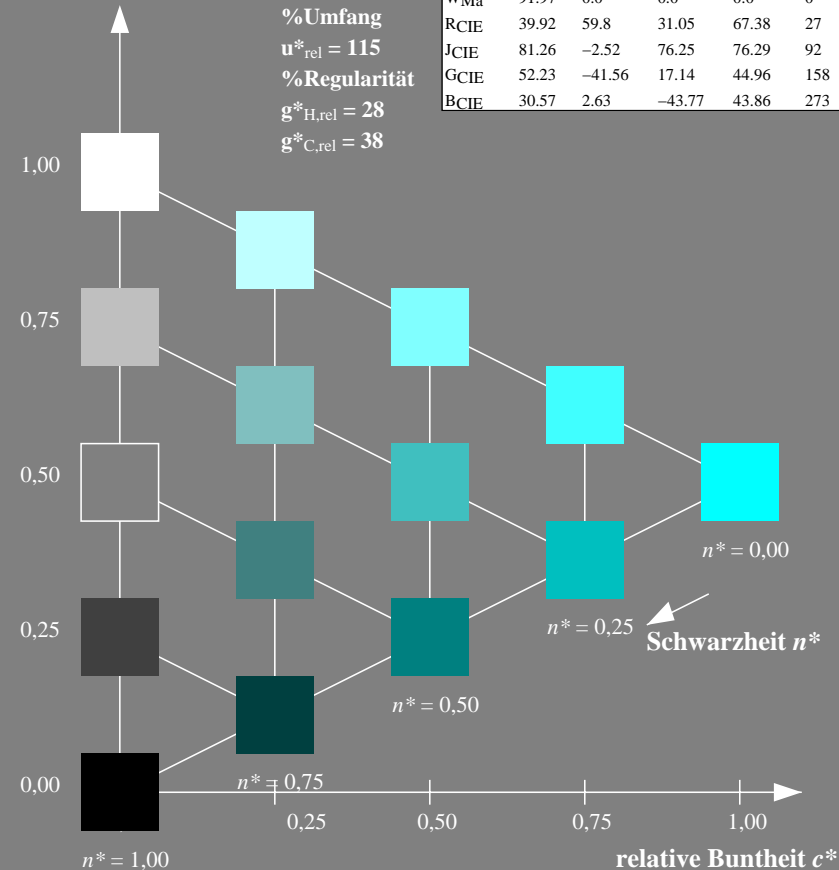
**D65: Buntton G50B**  
**LCH\*Ma: 48 43 232**  
**olv\*Ma: 0.0 1.0 1.0**



**%Umfang**  
 **$u^*_{\text{rel}} = 115$**   
**%Regularität**  
 **$g^*_{\text{H,rel}} = 28$**   
 **$g^*_{\text{C,rel}} = 38$**

FRS06; adaptierte CIELAB-Daten					
	$L^*_a$	$a^*_a$	$b^*_a$	$C^*_{ab,a}$	$h^*_{ab,a}$
OMa	32.57	62.32	46.49	77.75	37
YMa	82.73	-3.16	113.99	114.03	92
LMa	39.43	-61.79	45.84	76.95	143
CMa	47.86	-26.79	-34.24	43.49	232
VMa	10.16	55.12	-61.03	82.24	312
MMa	34.5	80.68	-33.92	87.52	337
NMa	6.25	0.0	0.0	0.0	0
WMa	91.97	0.0	0.0	0.0	0
RCIE	39.92	59.8	31.05	67.38	27
JCIE	81.26	-2.52	76.25	76.29	92
GCIE	52.23	-41.56	17.14	44.96	158
BCIE	30.57	2.63	-43.77	43.86	273

### Dreiecks-Helligkeit $t^*$

VG360-7, 3stufige Reihen für konstanten CIELAB Buntton  $232/360 = 0.644$  (links)5stufige Reihen für konstanten CIELAB Buntton  $232/360 = 0.644$  (rechts)

BAM-Prüfvorlage VG36; Farbmatrik-Systeme CNS18 & FRS06 input: *olv\* setrgbcolor*

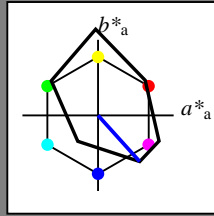
## D65: 3 und 5stufige Farbreihen für 10 Bunttöne

output: *no change compared to input*

**Eingabe: Farbmétrisches Drucker-Reflektiv-System FRS06**

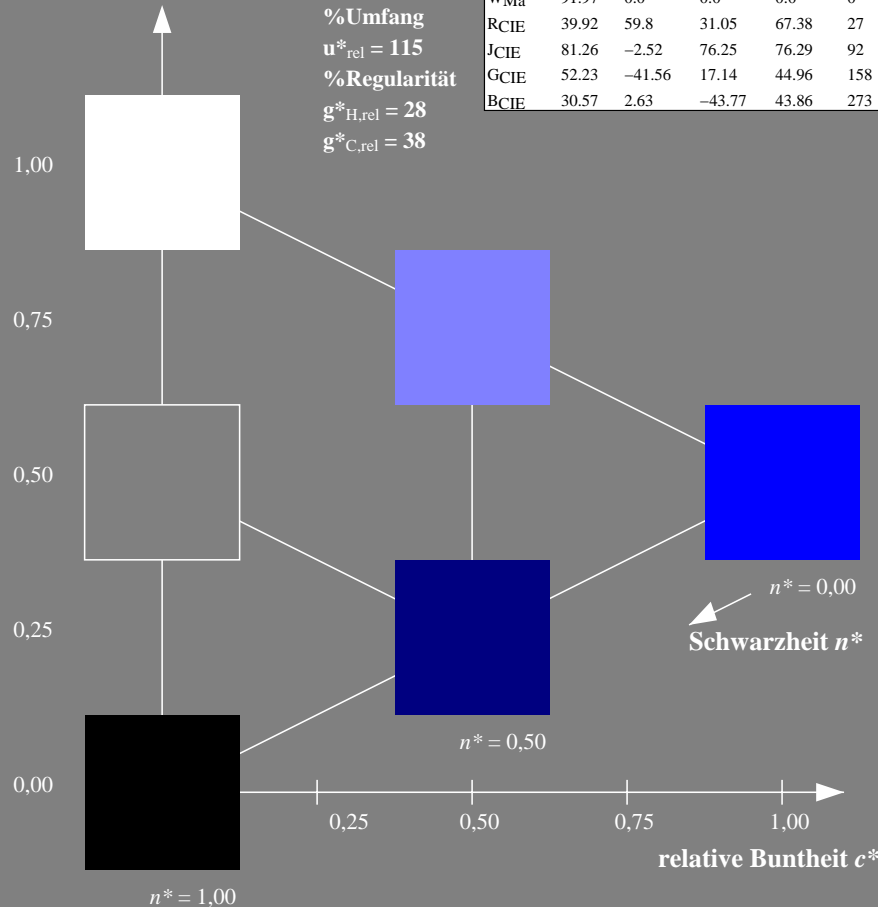
für Buntton  $h^* = lab^*h = 312/360 = 0.867$   
 $lab^*ch$  und  $lab^*nch$

**D65: Buntton B**  
**LCH\*Ma: 10 82 312**  
**olv\*Ma: 0.0 0.0 1.0**



**%Umfang**  
 **$u^*_{\text{rel}} = 115$**   
**%Regularität**  
 **$g^*_{\text{H,rel}} = 28$**   
 **$g^*_{\text{C,rel}} = 38$**

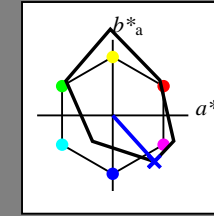
FRS06; adaptierte CIELAB-Daten					
	$L^* = L^*_a$	$a^*_a$	$b^*_a$	$C^*_{ab,a}$	$h^*_{ab,a}$
RMa	32.57	62.32	46.49	77.75	37
JMa	82.73	-3.16	113.99	114.03	92
GMa	39.43	-61.79	45.84	76.95	143
G50B <sub>Ma</sub>	47.86	-26.79	-34.24	43.49	232
B <sub>Ma</sub>	10.16	55.12	-61.03	82.24	312
B50R <sub>Ma</sub>	34.5	80.68	-33.92	87.52	337
N <sub>Ma</sub>	6.25	0.0	0.0	0.0	0
W <sub>Ma</sub>	91.97	0.0	0.0	0.0	0
RCIE	39.92	59.8	31.05	67.38	27
JCIE	81.26	-2.52	76.25	76.29	92
GCIE	52.23	-41.56	17.14	44.96	158
BCIE	30.57	2.63	-43.77	43.86	273



**Ausgabe: Farbmétrisches Drucker-Reflektiv-System FRS06**

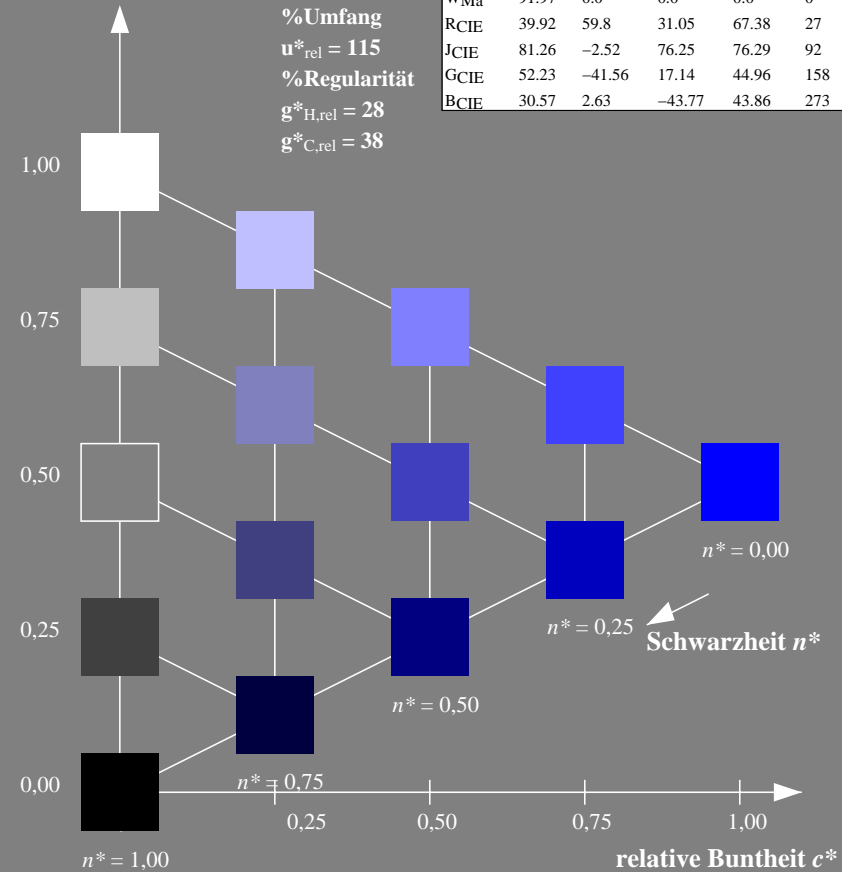
für Buntton  $h^* = lab^*h = 312/360 = 0.867$   
 $lab^*ch$  und  $lab^*nch$

**D65: Buntton B**  
**LCH\*Ma: 10 82 312**  
**olv\*Ma: 0.0 0.0 1.0**



**%Umfang**  
 **$u^*_{\text{rel}} = 115$**   
**%Regularität**  
 **$g^*_{\text{H,rel}} = 28$**   
 **$g^*_{\text{C,rel}} = 38$**

FRS06; adaptierte CIELAB-Daten					
	$L^* = L^*_a$	$a^*_a$	$b^*_a$	$C^*_{ab,a}$	$h^*_{ab,a}$
OMa	32.57	62.32	46.49	77.75	37
YMa	82.73	-3.16	113.99	114.03	92
LMa	39.43	-61.79	45.84	76.95	143
CMa	47.86	-26.79	-34.24	43.49	232
VMa	10.16	55.12	-61.03	82.24	312
MMa	34.5	80.68	-33.92	87.52	337
NMa	6.25	0.0	0.0	0.0	0
WMa	91.97	0.0	0.0	0.0	0
RCIE	39.92	59.8	31.05	67.38	27
JCIE	81.26	-2.52	76.25	76.29	92
GCIE	52.23	-41.56	17.14	44.96	158
BCIE	30.57	2.63	-43.77	43.86	273

VG360-7, 3stufige Reihen für konstanten CIELAB Buntton  $312/360 = 0.867$  (links)5stufige Reihen für konstanten CIELAB Buntton  $312/360 = 0.867$  (rechts)

BAM-Prüfvorlage VG36; Farbmimetrik-Systeme CNS18 & FRS06  
input: *olv\* setrgbcolor*  
D65: 3 und 5stufige Farbreihen für 10 Bunttöne  
output: *no change com*

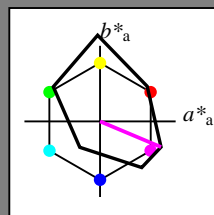
output: *no change compared to input*

### Eingabe: Farbmétrisches Drucker-Reflektiv-System FRS06

für Buntton  $h^* = lab^*h = 337/360 = 0.937$   
 $lab^*ich$  und  $lab^*nch$

D65: Buntton B50R  
LCH\*Ma: 35 88 337  
olv\*Ma: 1.0 0.0 1.0

Dreiecks-Helligkeit  $t^*$



%Umfang  
 $u^*_{rel} = 115$   
%Regularität  
 $g^*_{H,rel} = 28$   
 $g^*_{C,rel} = 38$

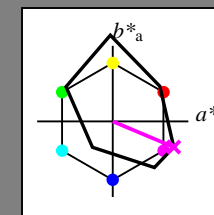
FRS06; adaptierte CIELAB-Daten					
	$L^*=L^*_a$	$a^*_a$	$b^*_a$	$C^*_{ab,a}$	$h^*_{ab,a}$
RMa	32.57	62.32	46.49	77.75	37
JMa	82.73	-3.16	113.99	114.03	92
GMa	39.43	-61.79	45.84	76.95	143
G50BMa	47.86	-26.79	-34.24	43.49	232
BMa	10.16	55.12	-61.03	82.24	312
B50RMa	34.5	80.68	-33.92	87.52	337
NMa	6.25	0.0	0.0	0.0	0
WMa	91.97	0.0	0.0	0.0	0
RCIE	39.92	59.8	31.05	67.38	27
JCIE	81.26	-2.52	76.25	76.29	92
GCIE	52.23	-41.56	17.14	44.96	158
BCIE	30.57	2.63	-43.77	43.86	273

### Ausgabe: Farbmétrisches Drucker-Reflektiv-System FRS06

für Buntton  $h^* = lab^*h = 337/360 = 0.937$   
 $lab^*ich$  und  $lab^*nch$

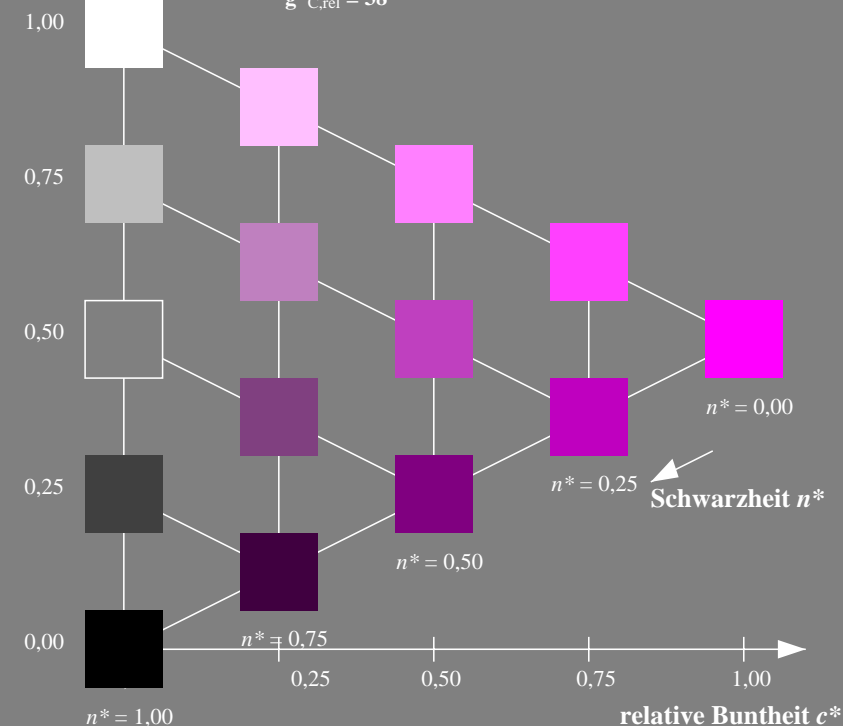
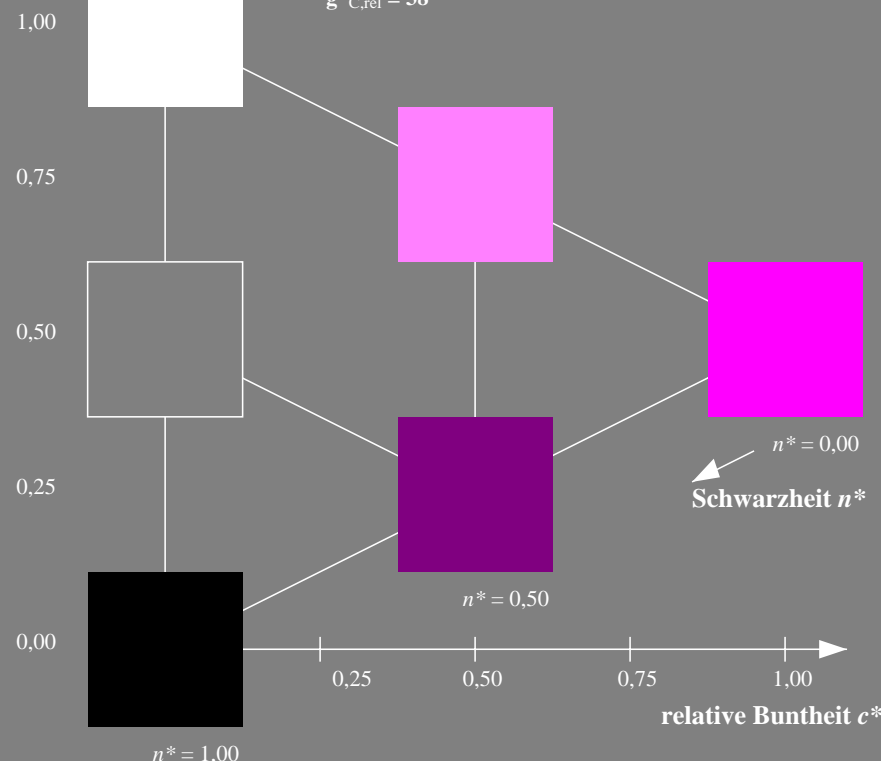
D65: Buntton B50R  
LCH\*Ma: 35 88 337  
olv\*Ma: 1.0 0.0 1.0

Dreiecks-Helligkeit  $t^*$



%Umfang  
 $u^*_{rel} = 115$   
%Regularität  
 $g^*_{H,rel} = 28$   
 $g^*_{C,rel} = 38$

FRS06; adaptierte CIELAB-Daten					
	$L^*=L^*_a$	$a^*_a$	$b^*_a$	$C^*_{ab,a}$	$h^*_{ab,a}$
OMa	32.57	62.32	46.49	77.75	37
YMa	82.73	-3.16	113.99	114.03	92
LMa	39.43	-61.79	45.84	76.95	143
CMa	47.86	-26.79	-34.24	43.49	232
VMa	10.16	55.12	-61.03	82.24	312
MMa	34.5	80.68	-33.92	87.52	337
NMa	6.25	0.0	0.0	0.0	0
WMa	91.97	0.0	0.0	0.0	0
RCIE	39.92	59.8	31.05	67.38	27
JCIE	81.26	-2.52	76.25	76.29	92
GCIE	52.23	-41.56	17.14	44.96	158
BCIE	30.57	2.63	-43.77	43.86	273



VG360-7, 3stufige Reihen für konstanten CIELAB Buntton 337/360 = 0.937 (links)

5stufige Reihen für konstanten CIELAB Buntton 337/360 = 0.937 (rechts)

BAM-Prüfvorlage VG36; Farbmétrik-Systeme CNS18 & FRS06 input: olv\* setrgbcolor  
D65: 3 und 5stufige Farbreihen für 10 Bunttöne

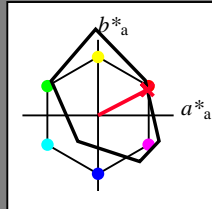
output: no change compared to input

### Eingabe: Farbmetrisches Drucker-Reflektiv-System FRS06

für Buntton  $h^* = lab^*h = 27/360 = 0.076$   
 $lab^*ich$  und  $lab^*nch$

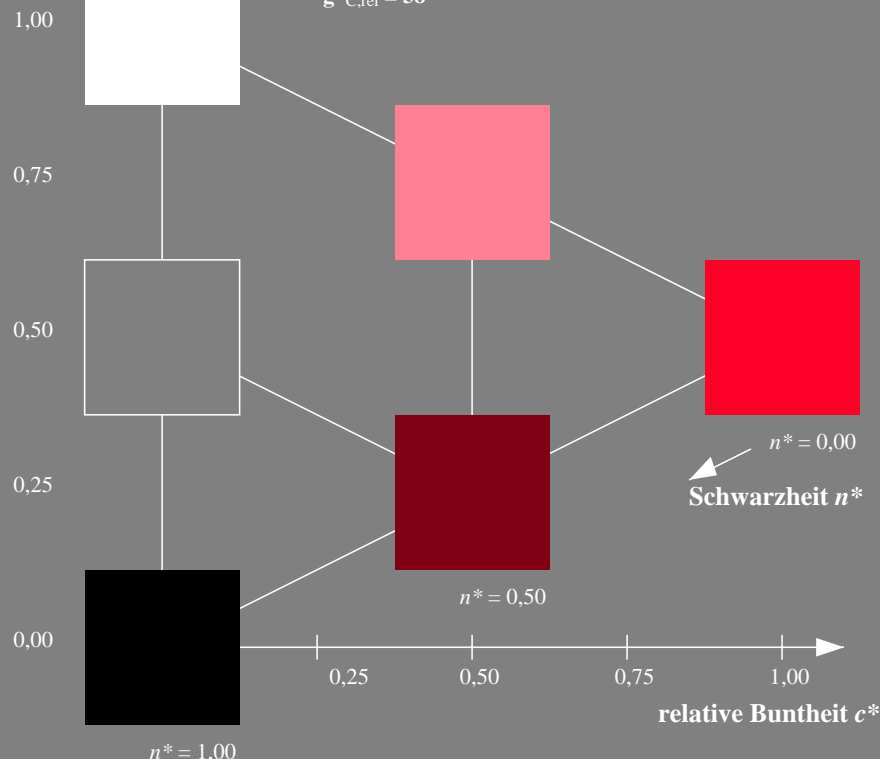
D65: Buntton R  
LCH\*Ma: 33 73 27  
olv\*Ma: 1.0 0.0 0.16

Dreiecks-Helligkeit  $t^*$



%Umfang  
 $u^*_{rel} = 115$   
%Regularität  
 $g^*_{H,rel} = 28$   
 $g^*_{C,rel} = 38$

FRS06; adaptierte CIELAB-Daten					
	$L^*=L^*_a$	$a^*_a$	$b^*_a$	$C^*_{ab,a}$	$h^*_{ab,a}$
RMa	32.57	62.32	46.49	77.75	37
JMa	82.73	-3.16	113.99	114.03	92
GMa	39.43	-61.79	45.84	76.95	143
G50BMa	47.86	-26.79	-34.24	43.49	232
BMa	10.16	55.12	-61.03	82.24	312
B50RMa	34.5	80.68	-33.92	87.52	337
NMa	6.25	0.0	0.0	0.0	0
WMa	91.97	0.0	0.0	0.0	0
RCIE	39.92	59.8	31.05	67.38	27
JCIE	81.26	-2.52	76.25	76.29	92
GCIE	52.23	-41.56	17.14	44.96	158
BCIE	30.57	2.63	-43.77	43.86	273

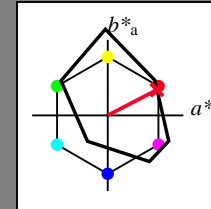


### Ausgabe: Farbmetrisches Drucker-Reflektiv-System FRS06

für Buntton  $h^* = lab^*h = 27/360 = 0.076$   
 $lab^*ich$  und  $lab^*nch$

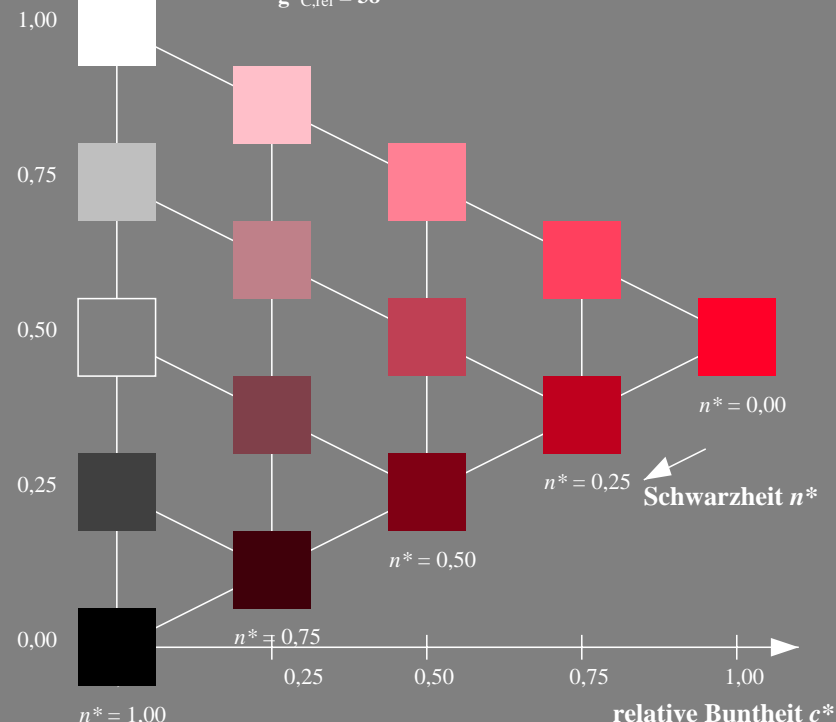
D65: Buntton R  
LCH\*Ma: 33 73 27  
olv\*Ma: 1.0 0.0 0.16

Dreiecks-Helligkeit  $t^*$



%Umfang  
 $u^*_{rel} = 115$   
%Regularität  
 $g^*_{H,rel} = 28$   
 $g^*_{C,rel} = 38$

FRS06; adaptierte CIELAB-Daten					
	$L^*=L^*_a$	$a^*_a$	$b^*_a$	$C^*_{ab,a}$	$h^*_{ab,a}$
OMa	32.57	62.32	46.49	77.75	37
YMa	82.73	-3.16	113.99	114.03	92
LMa	39.43	-61.79	45.84	76.95	143
CMa	47.86	-26.79	-34.24	43.49	232
VMa	10.16	55.12	-61.03	82.24	312
MMa	34.5	80.68	-33.92	87.52	337
NMa	6.25	0.0	0.0	0.0	0
WMa	91.97	0.0	0.0	0.0	0
RCIE	39.92	59.8	31.05	67.38	27
JCIE	81.26	-2.52	76.25	76.29	92
GCIE	52.23	-41.56	17.14	44.96	158
BCIE	30.57	2.63	-43.77	43.86	273



VG360-7, 3stufige Reihen für konstanten CIELAB Buntton 27/360 = 0.076 (links)

5stufige Reihen für konstanten CIELAB Buntton 27/360 = 0.076 (rechts)

BAM-Prüfvorlage VG36; Farbmetrik-Systeme CNS18 & FRS06 input: olv\* setrgbcolor  
D65: 3 und 5stufige Farbreihen für 10 Bunttöne

output: no change compared to input

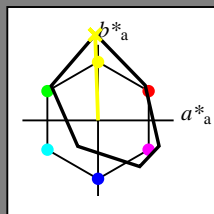


### Eingabe: Farbmetrisches Drucker-Reflektiv-System FRS06

für Buntton  $h^* = lab^*h = 92/360 = 0.255$   
 $lab^*ich$  und  $lab^*nch$

D65: Buntton J  
LCH\*Ma: 82 113 92  
olv\*Ma: 0.99 1.0 0.0

Dreiecks-Helligkeit  $t^*$



%Umfang  
 $u^*_{rel} = 115$   
%Regularität  
 $g^*_{H,rel} = 28$   
 $g^*_{C,rel} = 38$

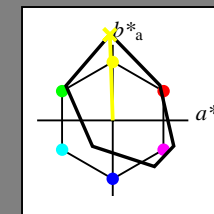
FRS06; adaptierte CIELAB-Daten					
	$L^*=L^*_a$	$a^*_a$	$b^*_a$	$C^*_{ab,a}$	$h^*_{ab,a}$
RMa	32.57	62.32	46.49	77.75	37
JMa	82.73	-3.16	113.99	114.03	92
GMa	39.43	-61.79	45.84	76.95	143
G50BMa	47.86	-26.79	-34.24	43.49	232
BMa	10.16	55.12	-61.03	82.24	312
B50RMa	34.5	80.68	-33.92	87.52	337
NMa	6.25	0.0	0.0	0.0	0
WMa	91.97	0.0	0.0	0.0	0
RCIE	39.92	59.8	31.05	67.38	27
JCIE	81.26	-2.52	76.25	76.29	92
GCIE	52.23	-41.56	17.14	44.96	158
BCIE	30.57	2.63	-43.77	43.86	273

### Ausgabe: Farbmetrisches Drucker-Reflektiv-System FRS06

für Buntton  $h^* = lab^*h = 92/360 = 0.255$   
 $lab^*ich$  und  $lab^*nch$

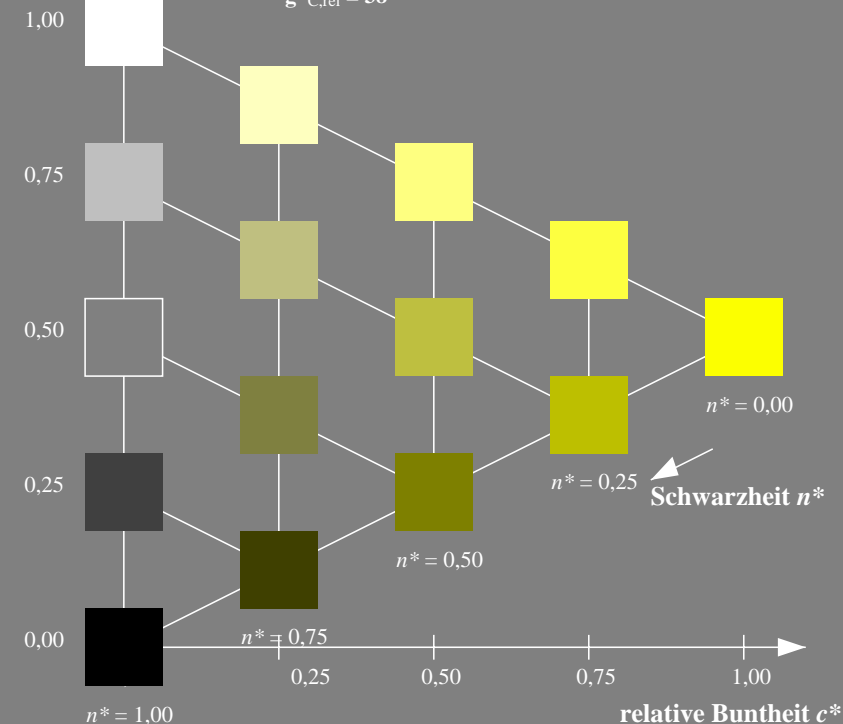
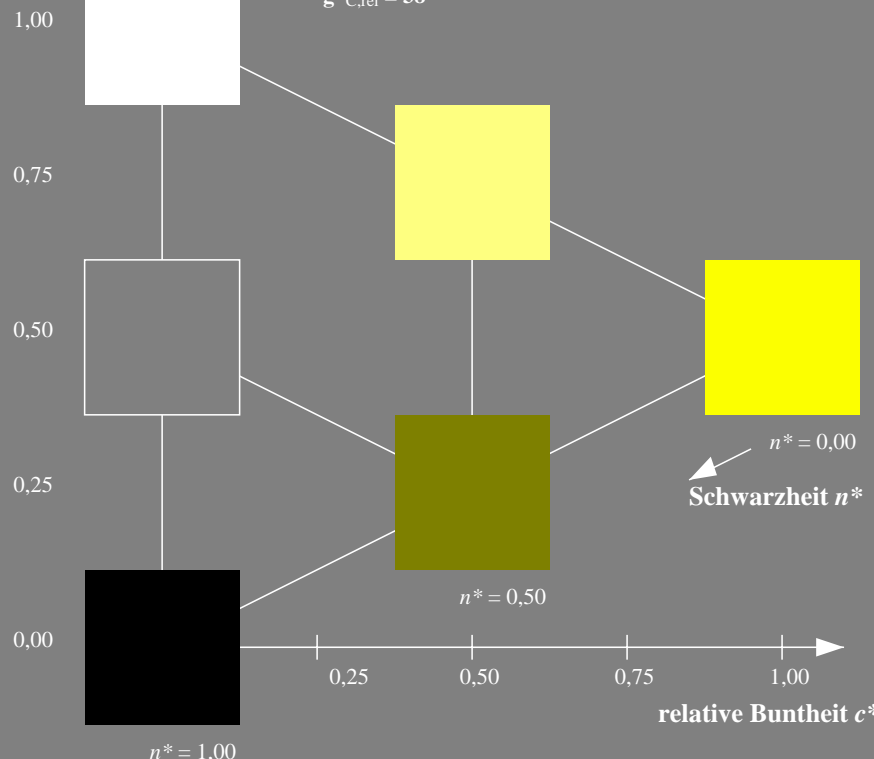
D65: Buntton J  
LCH\*Ma: 82 113 92  
olv\*Ma: 0.99 1.0 0.0

Dreiecks-Helligkeit  $t^*$



%Umfang  
 $u^*_{rel} = 115$   
%Regularität  
 $g^*_{H,rel} = 28$   
 $g^*_{C,rel} = 38$

FRS06; adaptierte CIELAB-Daten					
	$L^*=L^*_a$	$a^*_a$	$b^*_a$	$C^*_{ab,a}$	$h^*_{ab,a}$
OMa	32.57	62.32	46.49	77.75	37
YMa	82.73	-3.16	113.99	114.03	92
LMa	39.43	-61.79	45.84	76.95	143
CMa	47.86	-26.79	-34.24	43.49	232
VMa	10.16	55.12	-61.03	82.24	312
MMa	34.5	80.68	-33.92	87.52	337
NMa	6.25	0.0	0.0	0.0	0
WMa	91.97	0.0	0.0	0.0	0
RCIE	39.92	59.8	31.05	67.38	27
JCIE	81.26	-2.52	76.25	76.29	92
GCIE	52.23	-41.56	17.14	44.96	158
BCIE	30.57	2.63	-43.77	43.86	273



VG360-7, 3stufige Reihen für konstanten CIELAB Buntton 92/360 = 0.255 (links)

5stufige Reihen für konstanten CIELAB Buntton 92/360 = 0.255 (rechts)

BAM-Prüfvorlage VG36; Farbmetrik-Systeme CNS18 & FRS06 input: olv\* setrgbcolor  
D65: 3 und 5stufige Farbreihen für 10 Bunttöne

output: no change compared to input

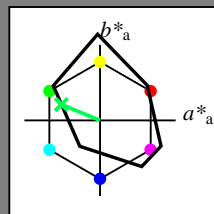


### Eingabe: Farbmetrisches Drucker-Reflektiv-System FRS06

für Buntton  $h^* = lab^*h = 158/360 = 0.438$   
 $lab^*ich$  und  $lab^*nch$

D65: Buntton G  
LCH\*Ma: 42 55 158  
olv\*Ma: 0.0 1.0 0.31

Dreiecks-Helligkeit  $t^*$



%Umfang  
 $u^*_{rel} = 115$   
%Regularität  
 $g^*_{H,rel} = 28$   
 $g^*_{C,rel} = 38$

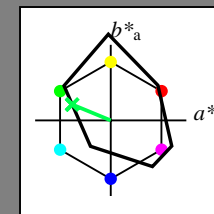
FRS06; adaptierte CIELAB-Daten					
	$L^*=L^*_a$	$a^*_a$	$b^*_a$	$C^*_{ab,a}$	$h^*_{ab,a}$
RMa	32.57	62.32	46.49	77.75	37
JMa	82.73	-3.16	113.99	114.03	92
GMa	39.43	-61.79	45.84	76.95	143
G50BMa	47.86	-26.79	-34.24	43.49	232
BMa	10.16	55.12	-61.03	82.24	312
B50RMa	34.5	80.68	-33.92	87.52	337
NMa	6.25	0.0	0.0	0.0	0
WMa	91.97	0.0	0.0	0.0	0
RCIE	39.92	59.8	31.05	67.38	27
JCIE	81.26	-2.52	76.25	76.29	92
GCIE	52.23	-41.56	17.14	44.96	158
BCIE	30.57	2.63	-43.77	43.86	273

### Ausgabe: Farbmetrisches Drucker-Reflektiv-System FRS06

für Buntton  $h^* = lab^*h = 158/360 = 0.438$   
 $lab^*ich$  und  $lab^*nch$

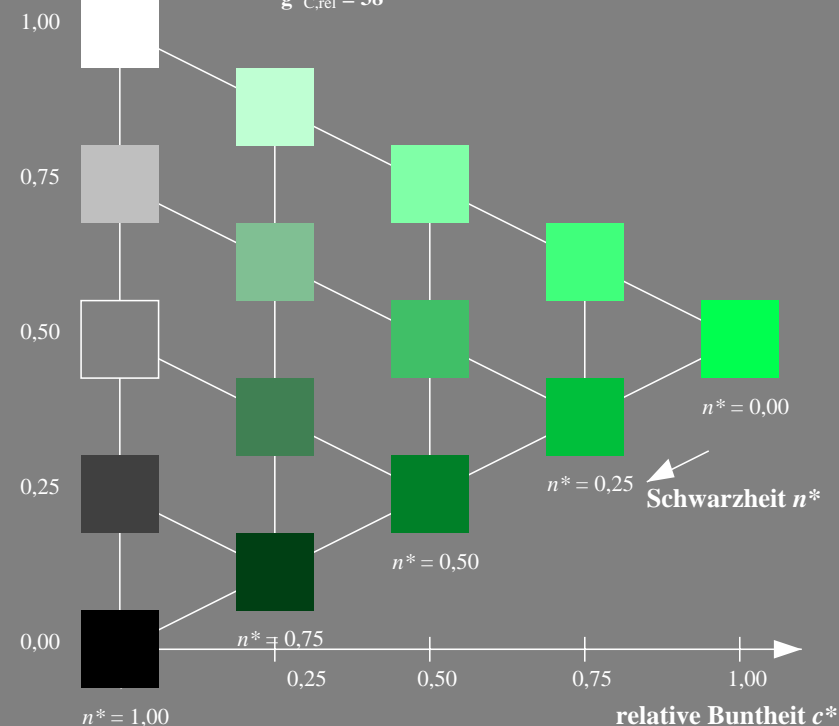
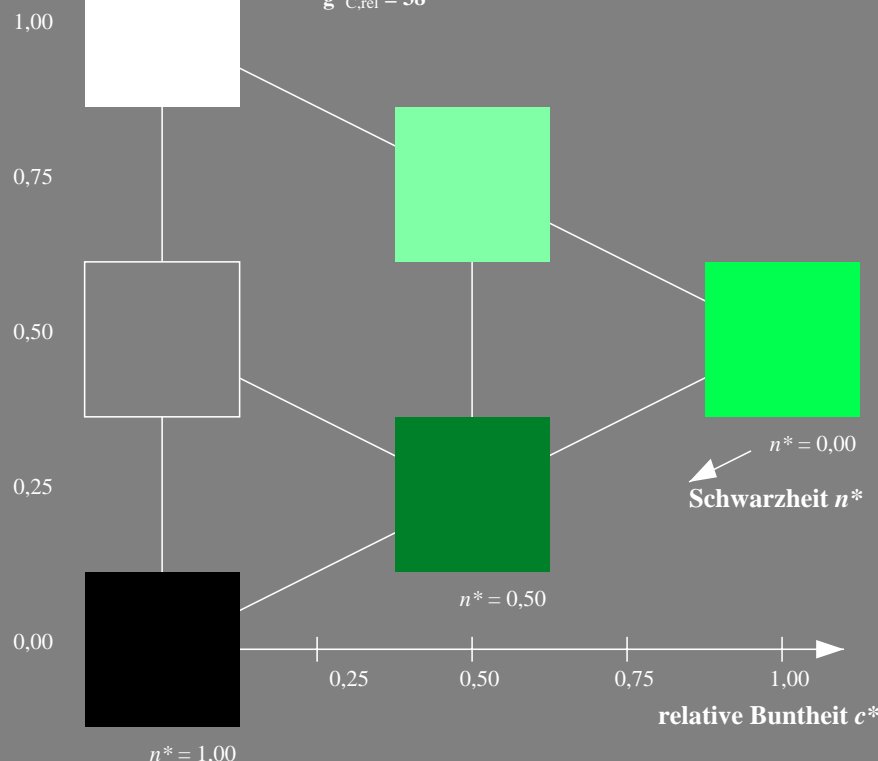
D65: Buntton G  
LCH\*Ma: 42 55 158  
olv\*Ma: 0.0 1.0 0.31

Dreiecks-Helligkeit  $t^*$



%Umfang  
 $u^*_{rel} = 115$   
%Regularität  
 $g^*_{H,rel} = 28$   
 $g^*_{C,rel} = 38$

FRS06; adaptierte CIELAB-Daten					
	$L^*=L^*_a$	$a^*_a$	$b^*_a$	$C^*_{ab,a}$	$h^*_{ab,a}$
OMa	32.57	62.32	46.49	77.75	37
YMa	82.73	-3.16	113.99	114.03	92
LMa	39.43	-61.79	45.84	76.95	143
CMa	47.86	-26.79	-34.24	43.49	232
VMa	10.16	55.12	-61.03	82.24	312
MMa	34.5	80.68	-33.92	87.52	337
NMa	6.25	0.0	0.0	0.0	0
WMa	91.97	0.0	0.0	0.0	0
RCIE	39.92	59.8	31.05	67.38	27
JCIE	81.26	-2.52	76.25	76.29	92
GCIE	52.23	-41.56	17.14	44.96	158
BCIE	30.57	2.63	-43.77	43.86	273



VG360-7, 3stufige Reihen für konstanten CIELAB Buntton 158/360 = 0.438 (links)

5stufige Reihen für konstanten CIELAB Buntton 158/360 = 0.438 (rechts)

BAM-Prüfvorlage VG36; Farbmetrik-Systeme CNS18 & FRS06 input: olv\* setrgbcolor  
D65: 3 und 5stufige Farbreihen für 10 Bunttöne

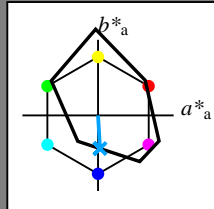
output: no change compared to input

### Eingabe: Farbmetrisches Drucker-Reflektiv-System FRS06

für Buntton  $h^* = lab^*h = 273/360 = 0.76$   
 $lab^*ich$  und  $lab^*nch$

D65: Buntton B  
LCH\*Ma: 34 44 273  
olv\*Ma: 0.0 0.64 1.0

Dreiecks-Helligkeit  $t^*$



%Umfang  
 $u^*_{rel} = 115$   
%Regularität  
 $g^*_{H,rel} = 28$   
 $g^*_{C,rel} = 38$

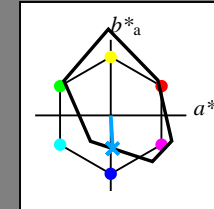
FRS06; adaptierte CIELAB-Daten					
	$L^*=L^*_a$	$a^*_a$	$b^*_a$	$C^*_{ab,a}$	$h^*_{ab,a}$
RMa	32.57	62.32	46.49	77.75	37
JMa	82.73	-3.16	113.99	114.03	92
GMa	39.43	-61.79	45.84	76.95	143
G50BMa	47.86	-26.79	-34.24	43.49	232
BMa	10.16	55.12	-61.03	82.24	312
B50RMa	34.5	80.68	-33.92	87.52	337
NMa	6.25	0.0	0.0	0.0	0
WMa	91.97	0.0	0.0	0.0	0
RCIE	39.92	59.8	31.05	67.38	27
JCIE	81.26	-2.52	76.25	76.29	92
GCIE	52.23	-41.56	17.14	44.96	158
BCIE	30.57	2.63	-43.77	43.86	273

### Ausgabe: Farbmetrisches Drucker-Reflektiv-System FRS06

für Buntton  $h^* = lab^*h = 273/360 = 0.76$   
 $lab^*ich$  und  $lab^*nch$

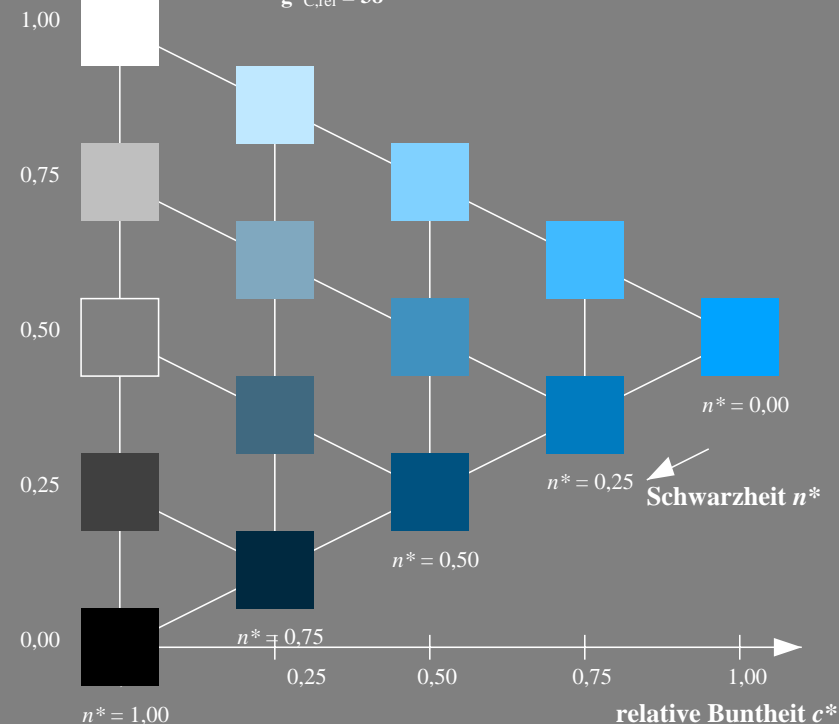
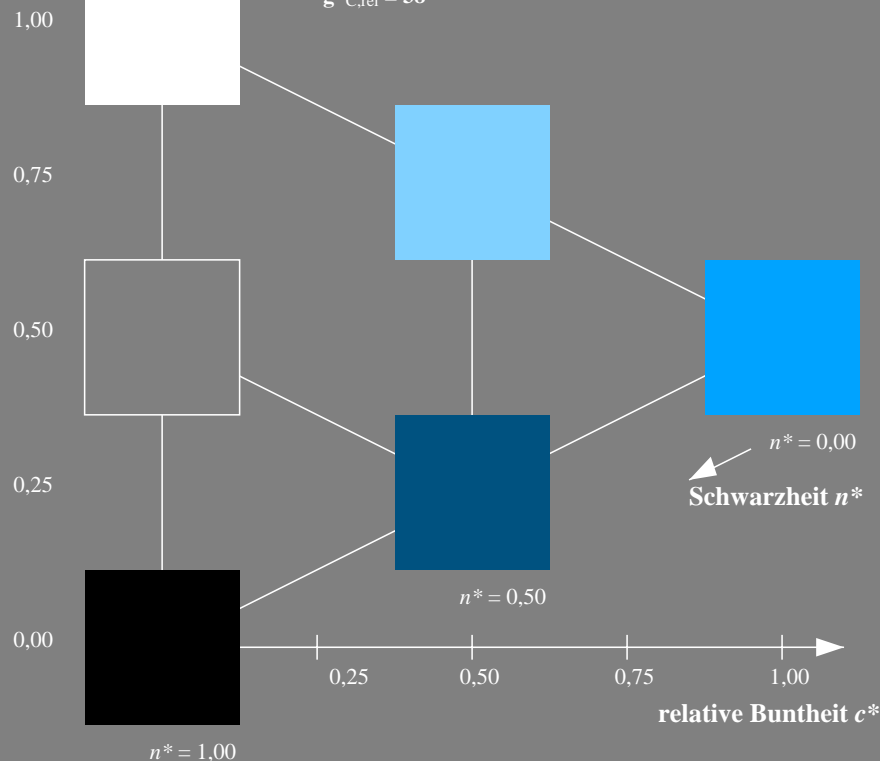
D65: Buntton B  
LCH\*Ma: 34 44 273  
olv\*Ma: 0.0 0.64 1.0

Dreiecks-Helligkeit  $t^*$



%Umfang  
 $u^*_{rel} = 115$   
%Regularität  
 $g^*_{H,rel} = 28$   
 $g^*_{C,rel} = 38$

FRS06; adaptierte CIELAB-Daten					
	$L^*=L^*_a$	$a^*_a$	$b^*_a$	$C^*_{ab,a}$	$h^*_{ab,a}$
OMa	32.57	62.32	46.49	77.75	37
YMa	82.73	-3.16	113.99	114.03	92
LMa	39.43	-61.79	45.84	76.95	143
CMa	47.86	-26.79	-34.24	43.49	232
VMa	10.16	55.12	-61.03	82.24	312
MMa	34.5	80.68	-33.92	87.52	337
NMa	6.25	0.0	0.0	0.0	0
WMa	91.97	0.0	0.0	0.0	0
RCIE	39.92	59.8	31.05	67.38	27
JCIE	81.26	-2.52	76.25	76.29	92
GCIE	52.23	-41.56	17.14	44.96	158
BCIE	30.57	2.63	-43.77	43.86	273



VG360-7, 3stufige Reihen für konstanten CIELAB Buntton 273/360 = 0.76 (links)

5stufige Reihen für konstanten CIELAB Buntton 273/360 = 0.76 (rechts)

BAM-Prüfvorlage VG36; Farbmetrik-Systeme CNS18 & FRS06 input: olv\* setrgbcolor  
D65: 3 und 5stufige Farbreihen für 10 Bunttöne

output: no change compared to input